

# Электродинамика и распространение радиоволн

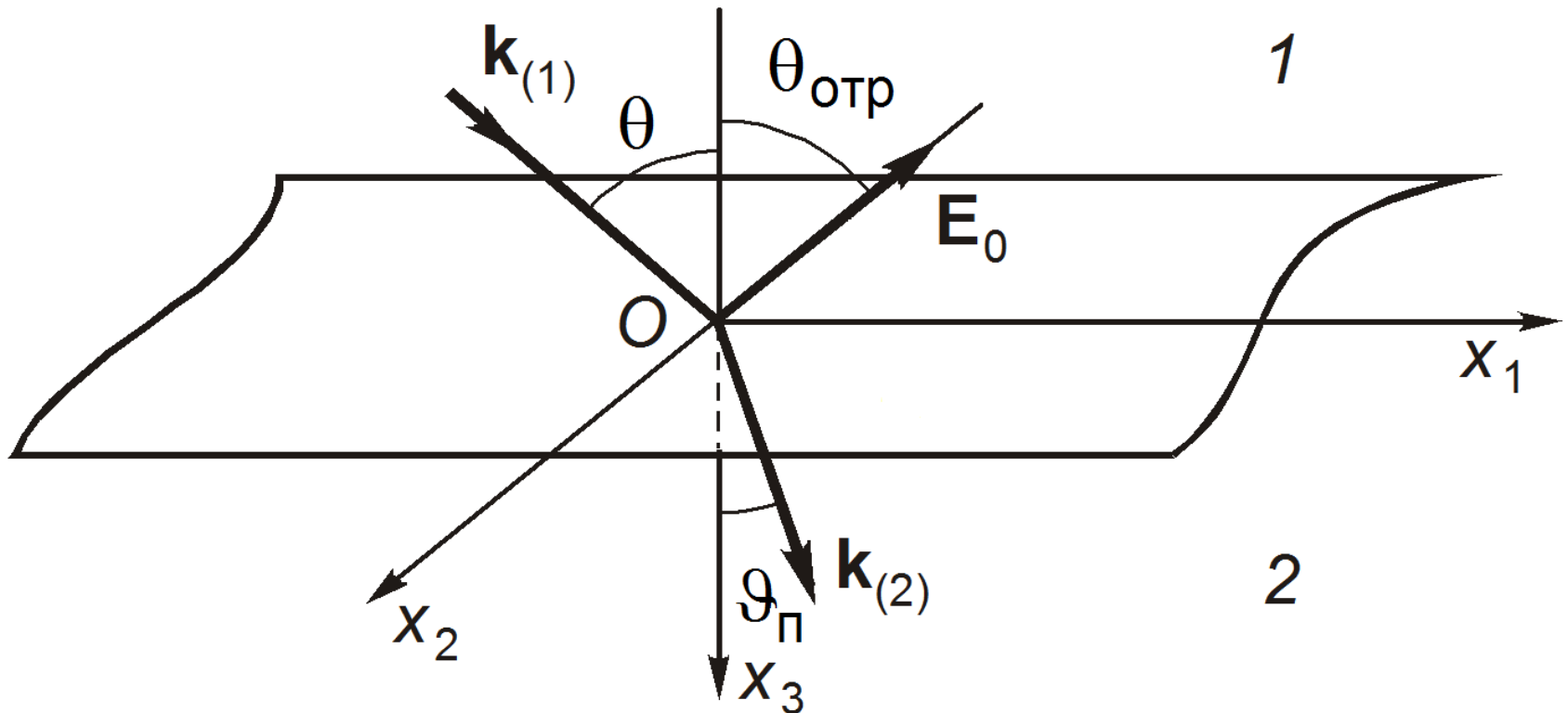
## Лекция 9

Русов Юрий Сергеевич

# 3 ЭЛЕКТРОМАГНИТНОЕ ПОЛЕ МОНОХРОМАТИЧЕСКОГО ИСТОЧНИКА В ОГРАНИЧЕННЫХ СРЕДАХ

## 3.1 Наклонное падение электромагнитной волны на плоскую границу раздела двух сред. Формулы Френеля

Распространение волны можно характеризовать волновым комплексным вектором  $\beta - i\alpha$ .



## *Наклонное падение на границу раздела сред*

**Обе среды линейные и без потерь.**

Пусть две однородных изотропных среды, из которых первая характеризуется параметрами  $\varepsilon_1, \mu_1$ , а вторая  $\varepsilon_2, \mu_2$ , разделены плоской границей, совпадающей с плоскостью  $Ox_1x_2$

В первой среде под углом  $\theta$  распространяется плоская однородная волна с постоянной распространения

$$k_{(1)} = \omega \sqrt{\varepsilon_{a1} \mu_{a1}}.$$

Поле в первой среде  $\mathbf{E}_{(1)}, \mathbf{H}_{(1)}$  определяется как сумма падающей  $\mathbf{E}, \mathbf{H}$  и отраженной  $\mathbf{E}_0, \mathbf{H}_0$  волн.

Поле во второй среде  $\mathbf{E}_{(2)}, \mathbf{H}_{(2)}$  определяется полем преломленной волны.

## Наклонное падение на границу раздела сред

Если вектор  $\mathbf{E}$  параллелен плоскости раздела, то поляризация называется **горизонтальной**. При этом вектор  $\mathbf{H}$  лежит в плоскости падения.

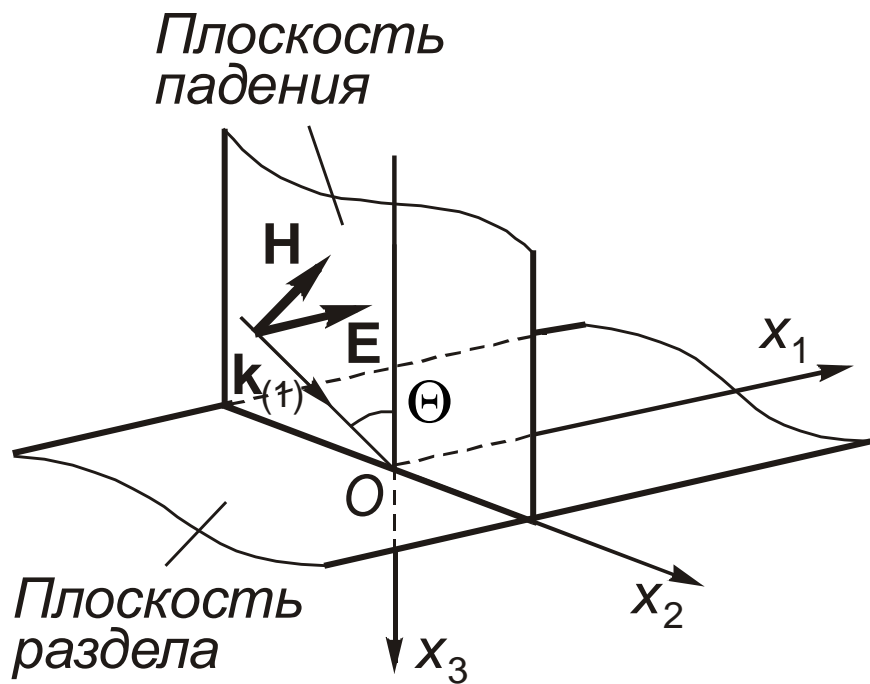
Если вектор  $\mathbf{E}$  лежит в плоскости падения, а вектор  $\mathbf{H}$  параллелен плоскости раздела, то поляризация называется **вертикальной**.

В случае линейной поляризации для упрощения решения удобно совместить координатную плоскость  $Ox_2x_3$  с плоскостью падения. Тогда в случае горизонтальной поляризации с осью  $x_1$  совпадает направление вектора  $\mathbf{E}$ , в случае вертикальной — направление вектора  $\mathbf{H}$ .

$$\mathbf{k}_{(1)} = (0, k_{(1)} \sin \theta, k_{(1)} \cos \theta)$$

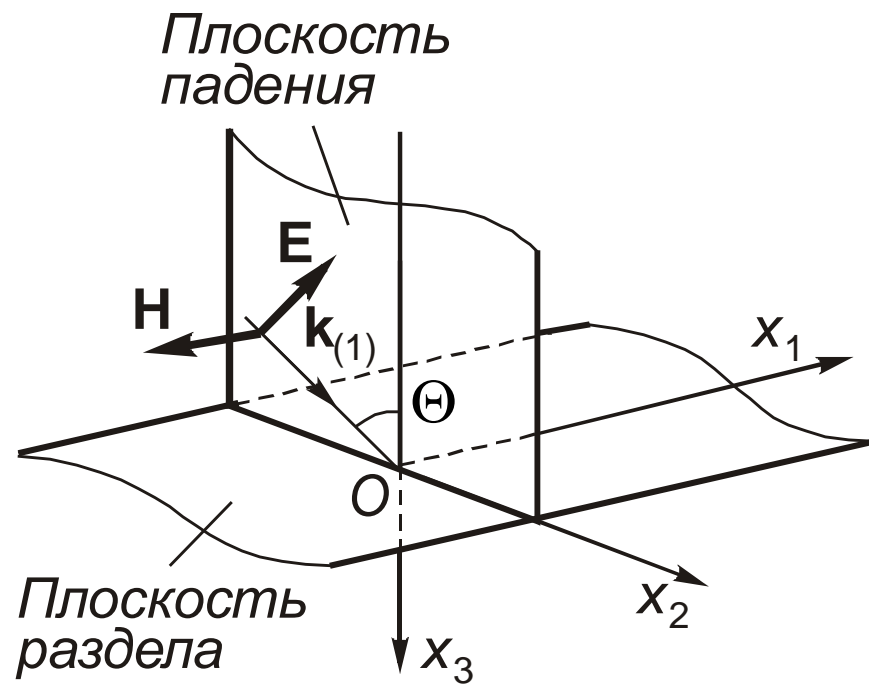
$$\mathbf{k}_{(1)} \mathbf{r} = k_{(1)} (x_2 \sin \theta + x_3 \cos \theta).$$

## Наклонное падение на границу раздела сред



*a*

при горизонтальной поляризации



*б*

при вертикальной поляризации

## Наклонное падение на границу раздела сред

Рассмотрим случай **горизонтальной поляризации**.  
Поле падающей волны

$$\left. \begin{aligned} \dot{\mathbf{E}} &= \mathbf{e}_1 E_m e^{i[\omega t - k_{(1)}(x_2 \sin \theta + x_3 \cos \theta)]}, \\ \dot{\mathbf{H}} &= H_m (\mathbf{e}_2 \cos \theta - \mathbf{e}_3 \sin \theta) e^{i[\omega t - k_{(1)}(x_2 \sin \theta + x_3 \cos \theta)]} \end{aligned} \right\} \quad (3.1)$$

$$E_m = Z_{01} H_m, \quad Z_{01} = \sqrt{\frac{\mu_{a1}}{\varepsilon_{a1}}}$$

Поле падающей волны не зависит от  $x_1$ .

Из условия симметрии очевидно, что вторичное поле не зависит от  $x_1$ , отраженная и преломленная волны также распространяются в плоскости падения.

## Наклонное падение на границу раздела сред

Постоянная распространения отраженной волны

$$k_0 = \omega_0 \sqrt{\varepsilon_{a1} \mu_{a1}},$$

поле отраженной волны

$$\begin{aligned}\dot{\mathbf{E}}_0 &= \mathbf{e}_1 \dot{E}_{m0} e^{i[\omega_0 t - k_0(x_2 \sin \theta_{\text{отр}} - x_3 \cos \theta_{\text{отр}})]}, \\ \dot{\mathbf{H}}_0 &= \dot{H}_{m0} (-\mathbf{e}_2 \cos \theta_{\text{отр}} - \mathbf{e}_3 \sin \theta_{\text{отр}}) e^{i[\omega_0 t - k_0(x_2 \sin \theta_{\text{отр}} - x_3 \cos \theta_{\text{отр}})]}, \\ \dot{E}_{m0} &= \dot{H}_{m0} Z_{01}.\end{aligned}\tag{3.2}$$

Поле прошедшей волны

$$\left. \begin{aligned}k_{(2)} &= \omega_2 \sqrt{\varepsilon_{a2} \mu_{a2}}, \\ \dot{\mathbf{E}}_{(2)} &= \mathbf{e}_1 \dot{E}_{m(2)} e^{i[\omega_2 t - k_{(2)}(x_2 \sin \vartheta_n + x_3 \cos \vartheta_n)]}, \\ \dot{\mathbf{H}}_{(2)} &= \dot{H}_{m(2)} (\mathbf{e}_2 \cos \vartheta_n - \mathbf{e}_3 \sin \vartheta_n) e^{i[\omega_2 t - k_{(2)}(x_2 \sin \vartheta_n + x_3 \cos \vartheta_n)]}, \\ \dot{E}_{m(2)} &= Z_{02} \dot{H}_{m(2)},\end{aligned}\right\} \tag{3.3}$$
$$Z_{02} = \sqrt{\frac{\mu_{a2}}{\varepsilon_{a2}}}$$

## Наклонное падение на границу раздела сред

$$E_{\tau(1)} = E_{\tau(2)} \quad \text{при} \quad x_3 = 0,$$

с учетом (3.1), (3.2) и (3.3)

$$\begin{aligned} E_m e^{i(\omega t - k_{(1)} x_2 \sin \theta)} + \dot{E}_{m0} e^{i(\omega_0 t - k_0 x_2 \sin \theta_{omp})} &= \\ &= \dot{E}_{m(2)} e^{i(\omega_2 t - k_{(2)} x_2 \sin \vartheta_n)}. \end{aligned} \quad (3.4)$$

Для выполнения граничного условия (3.4) в любой момент времени  $t$  в любой точке плоскости раздела необходимо

$$\omega = \omega_0 = \omega_2, \quad (3.5)$$

$$k_{(1)} \sin \theta = k_0 \sin \theta_{omp} = k_{(2)} \sin \vartheta_n. \quad (3.6)$$



## Наклонное падение на границу раздела сред

Из (3.6) следуют **законы Снеллиуса**:

1. Угол падения равен углу отражения

$$\theta = \theta_{\text{отр}}. \quad (3.7)$$

2. Углы падения и преломления связаны соотношением

$$\frac{\sin \vartheta_n}{\sin \theta} = \frac{k_{(1)}}{k_{(2)}} = \frac{\sqrt{\varepsilon_1 \mu_1}}{\sqrt{\varepsilon_2 \mu_2}} = \frac{n_1}{n_2} = n_{12}, \quad (3.8)$$

На основании (3.5) и (3.6) выражение (3.4)

$$E_m + \dot{E}_{m0} = \dot{E}_{m(2)}. \quad (3.9)$$

## Наклонное падение на границу раздела сред

$$J_{\text{пов}} = 0,$$

$$H_{\tau(1)} = H_{\tau(2)} \quad \text{при} \quad x_3 = 0,$$

Учитывая (3.1)—(3.3), (3.5) и (3.6)

$$H_m \cos \theta - \dot{H}_{m0} \cos \theta_{\text{отр}} = \dot{H}_{m0} \cos \vartheta_{\text{п}}.$$

$$\theta = \theta_{\text{отр}}, \quad \text{тогда}$$

$$(H_m - \dot{H}_{m0}) \cos \theta = H_{m(2)} \cos \vartheta_n \quad (3.10)$$

$$(E_m - \dot{E}_{m0}) \cos \theta = \frac{Z_{01}}{Z_{02}} \dot{E}_{m(2)} \cos \vartheta_n. \quad (3.11)$$

## *Наклонное падение на границу раздела сред*

Явления отражения и прохождения волны через границу раздела двух сред при горизонтальной поляризации можно характеризовать коэффициентами отражения и прохождения по электрическому полю

$$\dot{\Gamma}_E = \frac{\dot{E}_{m0}}{E_m}, \quad \dot{P}_E = \frac{\dot{E}_{m(2)}}{E_m}. \quad (3.12)$$

Преобразуя (3.9) и (3.11) с помощью (3.12), получим систему

$$\left. \begin{aligned} 1 + \dot{\Gamma}_E &= \dot{P}_E, \\ (1 - \dot{\Gamma}_E) \cos \theta &= \frac{Z_{01}}{Z_{02}} \dot{P}_E \cos \vartheta_n. \end{aligned} \right\}$$

## Наклонное падение на границу раздела сред

Решение системы - **формулы Френеля** для случая горизонтальной поляризации

$$\left. \begin{aligned} \dot{\Gamma}_E &= \frac{Z_{02} \cos \theta - Z_{01} \cos \vartheta_n}{Z_{02} \cos \theta + Z_{01} \cos \vartheta_n}, \\ \dot{P}_E &= \frac{2Z_{02} \cos \theta}{Z_{02} \cos \theta + Z_{01} \cos \vartheta_n}. \end{aligned} \right\} \quad (3.13)$$

## Наклонное падение на границу раздела сред

В случае **вертикальной поляризации** поле падающей волны

$$\left. \begin{aligned} \dot{\mathbf{E}} &= E_m (\mathbf{e}_2 \cos \theta - \mathbf{e}_3 \sin \theta) e^{i [\omega t - k_{(1)} (x_2 \sin \theta + x_3 \cos \theta)]} \\ \dot{\mathbf{H}} &= -\mathbf{e}_1 H_m e^{i [\omega t - k_{(1)} (x_2 \sin \theta + x_3 \cos \theta)]} \end{aligned} \right\} \quad (3.14)$$

При сравнении (3.14) и (3.1) видим, что уравнения, описывающие случай вертикальной поляризации, можно получить из уравнений для горизонтальной поляризации при замене  $\mathbf{E}$  на  $\mathbf{H}$ .

## Наклонное падение на границу раздела сред

(3.9) и (3.10) при замене будут иметь вид

$$\left. \begin{aligned} H_m + \dot{H}_{m0} &= \dot{H}_{m(2)}, \\ (E_m - \dot{E}_{m0}) \cos \theta &= \dot{E}_{m(2)} \cos \vartheta_n, \end{aligned} \right\} \quad (3.15)$$

или

$$(H_m - \dot{H}_{m0}) \cos \theta = \dot{H}_{m(2)} \frac{Z_{02}}{Z_{01}} \cos \vartheta_n. \quad (3.16)$$

## Наклонное падение на границу раздела сред

В случае вертикальной поляризации явления на границе раздела можно характеризовать коэффициентом отражения и прохождения по магнитному полю

$$\dot{\Gamma}_H = \frac{\dot{H}_{m0}}{H_m}, \quad \dot{P}_H = \frac{\dot{H}_{m(2)}}{H_m}. \quad (3.17)$$

Преобразуем (3.15) и (3.16) с помощью (3.17)

$$\left. \begin{aligned} 1 + \dot{\Gamma}_H &= \dot{P}_H, \\ (1 - \dot{\Gamma}_H) \cos \theta &= \dot{P}_H \frac{Z_{02}}{Z_{01}} \cos \vartheta_n. \end{aligned} \right\}$$

## Наклонное падение на границу раздела сред

Решение системы - **формулы Френеля** для случая вертикальной поляризации

$$\left. \begin{aligned} \dot{\Gamma}_H &= \frac{Z_{01} \cos \theta - Z_{02} \cos \vartheta_n}{Z_{01} \cos \theta + Z_{02} \cos \vartheta_n}, \\ \dot{P}_H &= \frac{2Z_{01} \cos \theta}{Z_{01} \cos \theta + Z_{02} \cos \vartheta_n}. \end{aligned} \right\} \quad (3.18)$$



## Наклонное падение на границу раздела сред

Горизонтальная поляризация. Поле в первой среде

$$\dot{\mathbf{E}}_{m(1)} = \mathbf{E}_m + \dot{\mathbf{E}}_{m0}.$$

$$\begin{aligned} \dot{\mathbf{E}}_{m(1)} = & \mathbf{e}_1 E_m e^{-i k_{(1)} (x_2 \sin \theta + x_3 \cos \theta)} + \\ & + \mathbf{e}_1 \Gamma_E E_m e^{-i k_{(1)} (x_2 \sin \theta_{omp} - x_3 \cos \theta_{omp})}. \end{aligned}$$

С учетом  $\theta = \theta_{omp}$ ,

$$\begin{aligned} \dot{\mathbf{E}}_{m(1)} = & \mathbf{e}_1 E_m [e^{-i k_{(1)} (x_2 \sin \theta + x_3 \cos \theta)} + \\ & + \Gamma_E e^{-i k_{(1)} (x_2 \sin \theta - x_3 \cos \theta)}]. \end{aligned}$$

## Наклонное падение на границу раздела сред

Выражение преобразуется к виду

$$\dot{\mathbf{E}}_{m(1)} = \mathbf{e}_1 E_m [(1 - \Gamma_E) e^{-i k_{(1)} (x_2 \sin \theta + x_3 \cos \theta)} + 2\Gamma_E \cos(k_{(1)} x_3 \cos \theta) e^{-i k_{(1)} x_2 \sin \theta}].$$

Поле в первой среде можно представить как сумму двух волн, одна из которых распространяется вдоль направления падения, а вторая вдоль границы раздела в направлении оси  $x_2$  с амплитудой, изменяющейся по закону косинуса вдоль оси  $x_3$ .

Поле в первой среде является неоднородным.

Поле во второй среде является однородным.

## *Наклонное падение на границу раздела сред*

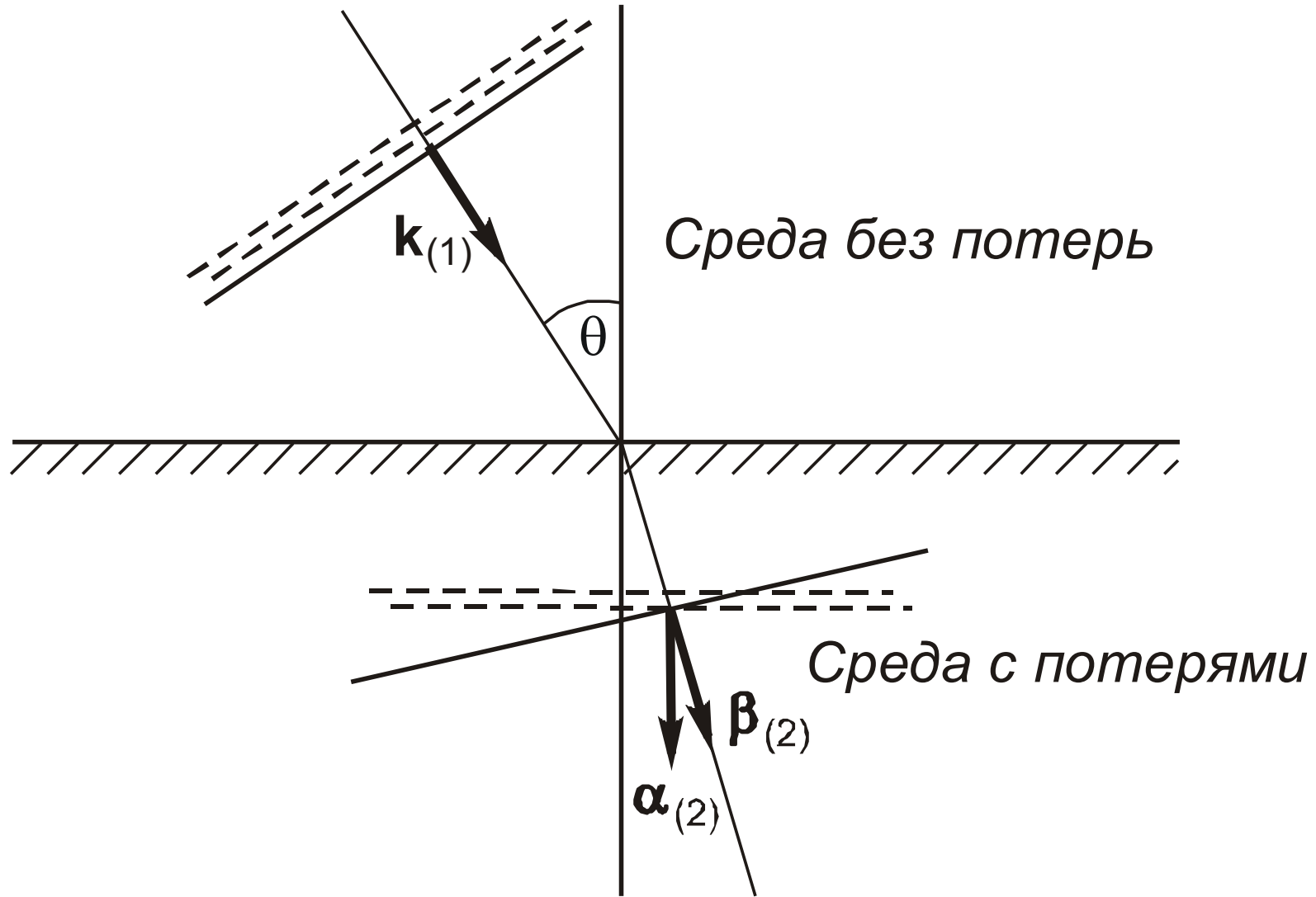
**Обе среды линейные, но вторая – с потерями.**

Рассмотрим прохождение плоской волны через поверхность раздела из среды без потерь в среду с потерями. Распространение преломленной волны характеризуется множителем распространения

$$e^{-i \mathbf{k}_{(2)} \mathbf{r}},$$

где  $\dot{\mathbf{k}}_{(2)} = \boldsymbol{\beta}_{(2)} - i\boldsymbol{\alpha}_{(2)}$  и в общем случае векторы  $\boldsymbol{\beta}_{(2)}$  и  $\boldsymbol{\alpha}_{(2)}$  не параллельны, но вследствие симметрии возбуждения волны лежат в плоскости падения.

## Наклонное падение на границу раздела сред



— Плоскость  
равных фаз

==== Плоскость равных  
амплитуд

## Наклонное падение на границу раздела сред

Если плоскость падения совпадает с плоскостью  $x_2 O x_3$ , то скалярное произведение

$$\dot{\mathbf{k}}_{(2)} \mathbf{r} = \dot{k}_{(2)} \left[ \frac{(\beta_{(2)} \sin \vartheta_\beta - i \alpha_{(2)} \sin \vartheta_\alpha)}{\dot{k}_{(2)}} x_2 + \frac{(\beta_{(2)} \cos \vartheta_\beta - i \alpha_{(2)} \cos \vartheta_\alpha)}{\dot{k}_{(2)}} x_3 \right]$$

Вводим комплексные углы

$$\cos \dot{\vartheta}_n = \frac{\beta_{(2)} \cos \vartheta_\beta - i \alpha_{(2)} \cos \vartheta_\alpha}{\dot{k}_{(2)}},$$

$$\sin \dot{\vartheta}_n = \frac{\beta_{(2)} \sin \vartheta_\beta - i \alpha_{(2)} \sin \vartheta_\alpha}{\dot{k}_{(2)}}.$$

## Наклонное падение на границу раздела сред

$\vartheta_\beta$  – угол между нормалью к поверхности и вектором  $\beta_{(2)}$ ;

$\vartheta_\alpha$  – угол между нормалью к поверхности и вектором  $\alpha_{(2)}$ .

Закон Снеллиуса

$$k_{(1)} \sin \theta = k_{(2)} \sin \vartheta_n.$$

Отсюда

$$k_{(1)} \sin \theta = \beta_{(2)} \sin \vartheta_\beta - i \alpha_{(2)} \sin \vartheta_\alpha,$$

$$\sin \vartheta_\alpha = 0$$

$$\vartheta_\alpha = 0^\circ,$$

$$\sin \vartheta_\beta = \frac{k_{(1)} \sin \theta}{\beta_{(2)}}.$$

## *Наклонное падение на границу раздела сред*

Если потери во второй среде малы, то

$$k_{(2)} \approx \beta_{(2)}$$

$$\vartheta_{\beta} \approx \vartheta_n.$$

В этом случае положение плоскости равных фаз в пространстве определяется выражением

$$x_2 \sin \vartheta + x_3 \cos \vartheta_n = \text{const},$$

а положение плоскости равных амплитуд выражением

$$x_3 = \text{const}.$$

## *Наклонное падение на границу раздела сред*

Среда с потерями характеризуется комплексным характеристическим сопротивлением и, следовательно, коэффициенты отражения и преломления являются комплексными.

Отраженная и преломленная волны сдвинуты по фазе относительно падающей.

Этот сдвиг для случая горизонтальной и вертикальной поляризаций будет различным, и при падении на границу среды с потерями волны произвольной линейной поляризации отраженная и преломленная волны будут поляризованы эллиптически.



## Угол Брюстера

### 3.2 Полное прохождение электромагнитного поля при наклонном падении на границу линейных сред без потерь. Угол Брюстера

В случае горизонтальной поляризации отраженная волна отсутствует, если

$$\Gamma_E = 0$$

Согласно формулам Френеля

$$Z_{02} \cos \theta - Z_{01} \cos \vartheta_n = 0.$$

Учитывая закон Снеллиуса,

$$Z_{02} \cos \theta - Z_{01} \sqrt{1 - \frac{k_{(1)}^2}{k_{(2)}^2} \sin^2 \theta} = 0$$

## Угол Брюстера

$$\sin^2 \theta = \frac{\varepsilon_2 / \varepsilon_1 - \mu_2 / \mu_1}{\mu_1 / \mu_2 - \mu_2 / \mu_1}. \quad (3.19)$$

Для обычных диэлектриков  $\mu_1 = \mu_2 = 1$ ,

и выражение (3.19) не имеет смысла, горизонтально-поляризованная часть поля отражается при любом угле падения.

## Угол Брюстера

В случае вертикальной поляризации условие полного прохождения волны

$$\Gamma_H = 0.$$

Согласно формулам Френеля

$$Z_{02} \cos \vartheta_n - Z_{01} \cos \theta = 0.$$

Учитывая закон преломления Снеллиуса,

$$Z_{02} \sqrt{1 - \frac{k_{(1)}^2}{k_{(2)}^2} \sin^2 \theta} - Z_{01} \cos \theta = 0,$$

## Угол Брюстера

$$\sin^2 \theta = \frac{\mu_2 / \mu_1 - \varepsilon_2 / \varepsilon_1}{\varepsilon_1 / \varepsilon_2 - \varepsilon_2 / \varepsilon_1}.$$

Для обычного диэлектрика  $\mu_1 = \mu_2 = 1$

тогда

$$\sin^2 \theta = \frac{1}{\varepsilon_1 / \varepsilon_2 + 1}$$

$$\theta = \arctg \sqrt{\frac{\varepsilon_2}{\varepsilon_1}}. \quad (3.20)$$

## Угол Брюстера

Вертикально поляризованная волна не отражается при падении на границу раздела идеальных диэлектриков под углом, определяемым выражением (3.20) и называемым **углом Брюстера**.

При падении под углом Брюстера волны любой линейной, круговой или эллиптической поляризации отраженная волна имеет горизонтальную поляризацию.

Угол преломления

$$\sin \vartheta_n = \sqrt{\frac{\varepsilon_1}{\varepsilon_2}} \sin \theta.$$

С учетом (3.20)

$$\sin \vartheta_n = \cos \theta$$

$$\sin \vartheta_n = \sin \left( \frac{\pi}{2} - \theta \right). \quad \vartheta_n + \theta = \frac{\pi}{2}.$$

### 3.3 Полное отражение электромагнитного поля от границы раздела двух линейных сред без потерь

$$\varepsilon_1 \mu_1 > \varepsilon_2 \mu_2, \quad n_{12} > 1,$$

Согласно закону преломления

$$n_{12} \sin \theta_{\text{кр}} = 1 \quad \theta_{\text{кр}} = \arcsin \frac{1}{n_{12}}. \quad (3.21)$$

При  $\theta > \theta_{\text{кр}}$

$$\sin \mathcal{J}_n = n_{12} \sin \theta > 1,$$

$$\cos \dot{\mathcal{J}}_n = \pm \sqrt{1 - n_{12}^2 \sin^2 \theta} = \pm i \left| \cos \dot{\mathcal{J}}_n \right|$$

## Полное отражение

Коэффициенты отражения и преломления даже в случае сред без потерь являются комплексными.

В случае  
горизонтальной  
поляризации

$$\left. \begin{aligned} \dot{\Gamma}_E &= \frac{Z_{02} \cos \theta + i Z_{01} |\cos \dot{\vartheta}_n|}{Z_{02} \cos \theta - i Z_{01} |\cos \dot{\vartheta}_n|}, \\ \dot{P}_E &= \frac{2 Z_{02} \cos \theta}{Z_{02} \cos \theta - i Z_{01} |\cos \dot{\vartheta}_n|}, \end{aligned} \right\}$$

в случае  
вертикальной  
поляризации

$$\left. \begin{aligned} \dot{\Gamma}_H &= \frac{Z_{01} \cos \theta + i Z_{02} |\cos \dot{\vartheta}_n|}{Z_{01} \cos \theta - i Z_{02} |\cos \dot{\vartheta}_n|}, \\ \dot{P}_H &= \frac{2 Z_{01} \cos \theta}{Z_{01} \cos \theta - i Z_{02} |\cos \dot{\vartheta}_n|}, \end{aligned} \right\}$$

## Полное отражение

$$\dot{\Gamma}_E = e^{i\psi_E}, \quad \dot{P}_E = P_E e^{i\frac{\psi_E}{2}},$$

$$\dot{\Gamma}_H = e^{i\psi_H}, \quad \dot{P}_H = P_H e^{i\frac{\psi_H}{2}},$$

$$\psi_E = 2 \operatorname{arctg} \left[ \frac{Z_{01} |\cos \dot{\mathcal{J}}_n|}{Z_{02} \cos \theta} \right], \quad P_E = \frac{2 \cos \theta}{\sqrt{\cos^2 \theta + (Z_{01}/Z_{02})^2 |\cos \dot{\mathcal{J}}_n|^2}},$$

$$\psi_H = 2 \operatorname{arctg} \left[ \frac{Z_{02} |\cos \dot{\mathcal{J}}_n|}{Z_{01} \cos \theta} \right], \quad P_E = \frac{2 \cos \theta}{\sqrt{\cos^2 \theta + (Z_{01}/Z_{02})^2 |\cos \dot{\mathcal{J}}_n|^2}}.$$



## Полное отражение

При горизонтальной поляризации поле в первой среде

$$\begin{aligned}\dot{\mathbf{E}}_{m(1)} &= \mathbf{e}_1 E_m e^{-i k_{(1)} (x_2 \sin \theta + x_3 \cos \theta)} + \mathbf{e}_1 E_m e^{-i [k_{(1)} (x_2 \sin \theta - x_3 \cos \theta - \psi_E)]} = \\ &= \mathbf{e}_1 2E_m \cos \left( k_{(1)} x_3 \cos \theta + \frac{\psi_E}{2} \right) e^{-i \left( k_{(1)} x_2 \sin \theta - \frac{\psi_E}{2} \right)},\end{aligned}\quad (3.22)$$

$$\begin{aligned}\dot{\mathbf{H}}_{m(1)} &= H_m (\mathbf{e}_2 \cos \theta - \mathbf{e}_3 \sin \theta) e^{-i k_{(1)} (x_2 \sin \theta + x_3 \cos \theta)} + \\ &+ H_m (-\mathbf{e}_2 \cos \theta - \mathbf{e}_3 \sin \theta) e^{-i [k_{(1)} (x_2 \sin \theta - x_3 \cos \theta) - \psi_E]} = \\ &= \left[ -i \mathbf{e}_2 2H_m \cos \theta \sin \left( k_{(1)} x_3 \cos \theta + \frac{\psi_E}{2} \right) - \right. \\ &\left. - \mathbf{e}_3 2H_m \sin \theta \cos \left( k_{(1)} x_3 \cos \theta + \frac{\psi_E}{2} \right) \right] e^{-i \left( k_{(1)} x_2 \sin \theta - \frac{\psi_E}{2} \right)}.\end{aligned}\quad (3.23)$$

## Полное отражение

Поле во второй среде

$$\left. \begin{aligned} \mathbf{E}_{m(2)} &= \mathbf{e}_1 P_E E_m e^{-k_{(2)} |\cos \dot{\mathcal{G}}_n| x_3} e^{-i \left( k_{(2)} x_2 \sin \dot{\mathcal{G}}_n - \frac{\psi_E}{2} \right)}, \\ \mathbf{H}_{m(2)} &= P_E H_m \left( -i \mathbf{e}_2 |\cos \dot{\mathcal{G}}_n| - \mathbf{e}_3 \sin \dot{\mathcal{G}}_n \right) \times \\ &\times e^{-k_{(2)} x_3 |\cos \dot{\mathcal{G}}_n|} e^{-i \left( k_{(2)} x_2 \sin \dot{\mathcal{G}}_n - \frac{\psi_E}{2} \right)}. \end{aligned} \right\}$$

(3.24)

## Полное отражение

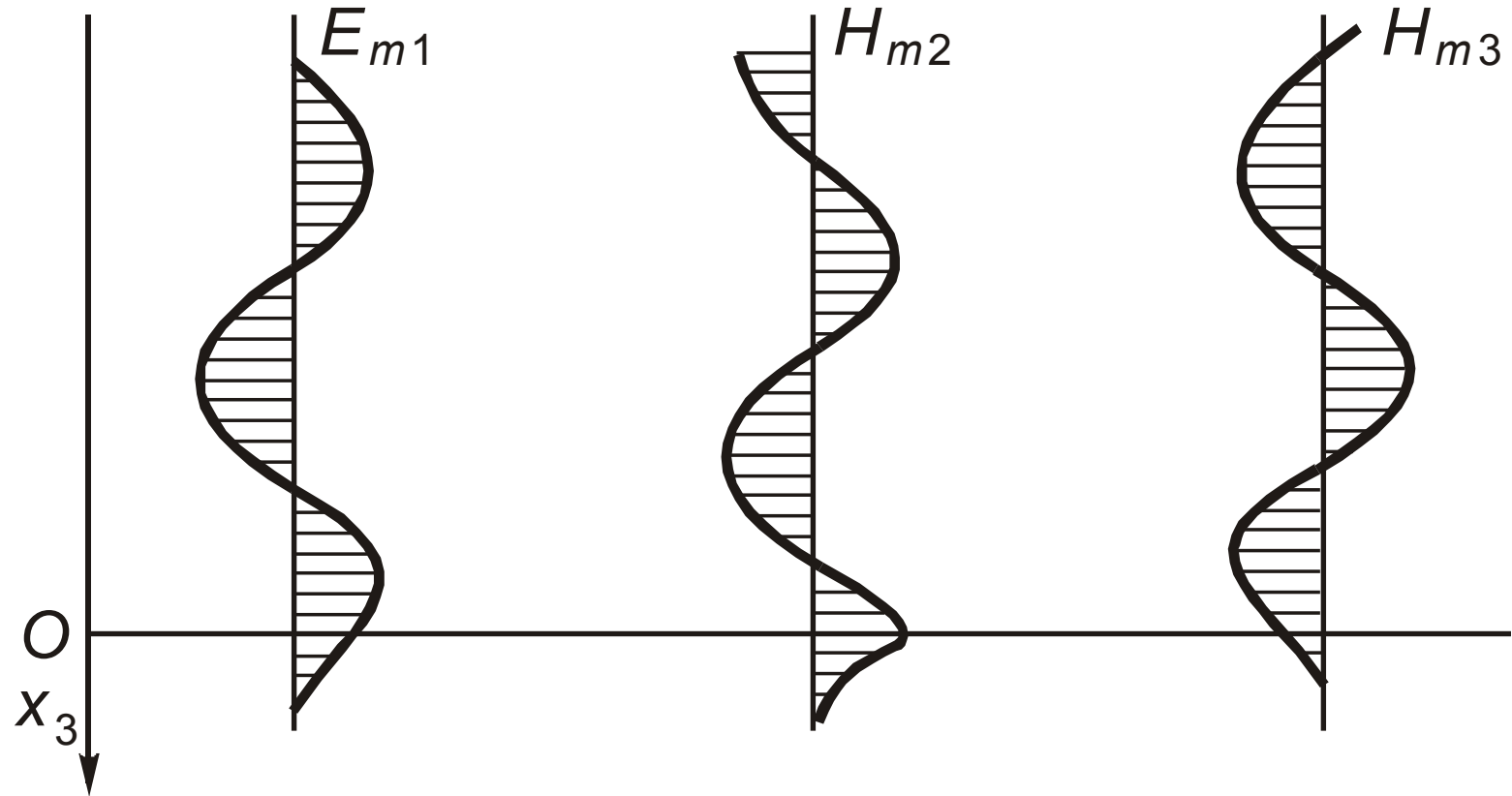
Длина «стоячей» волны

$$\lambda_{\perp} = \frac{2\pi}{k_{(1)} \cos\theta} = \frac{2\pi}{\omega \sqrt{\varepsilon_{a1} \mu_{a1}} \cos\theta},$$

Волна, распространяющаяся во второй среде, называется *поверхностной*, она распространяется вдоль поверхности

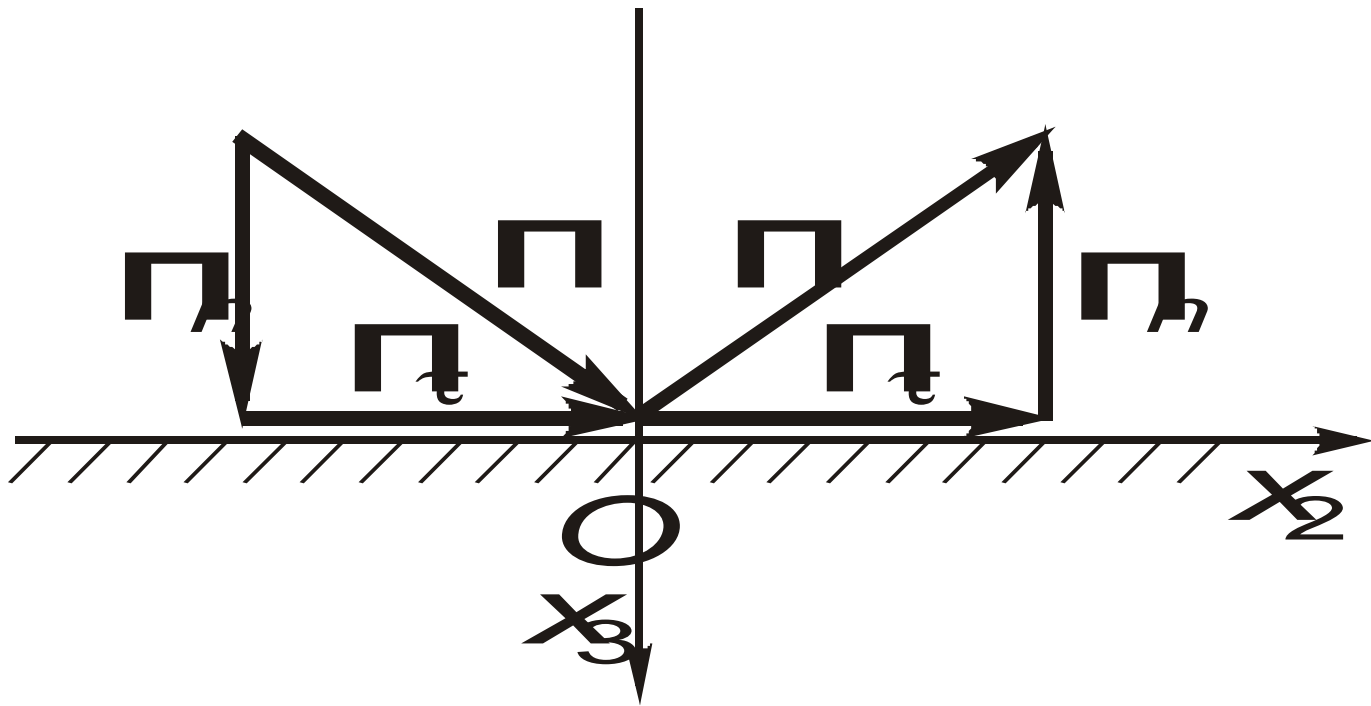
## Полное отражение

Распределение поля при полном отражении и горизонтальной поляризации падающей волны



## Полное отражение

Разложение вектора Пойнтинга, иллюстрирующее отсутствие потока энергии в направлении оси  $x_3$



## Полное отражение

Распространение волны в первой среде характеризуется постоянной распространения и фазовой скоростью, бóльшей, чем скорость распространения волны в неограниченной среде

$$k_0 = k_{(1)} \sin \theta$$

$$V_{\phi(1)} = \frac{\omega}{k_{(1)} \sin \theta} > \frac{1}{\sqrt{\varepsilon_{a1} \mu_{a1}}}$$

## Полное отражение

Распространение поверхностной волны во второй среде характеризуется постоянной распространения и фазовой скоростью, меньшей, чем скорость распространения волны в неограниченной среде

$$k_0 = k_{(2)} \sin \dot{\mathcal{J}}_n$$

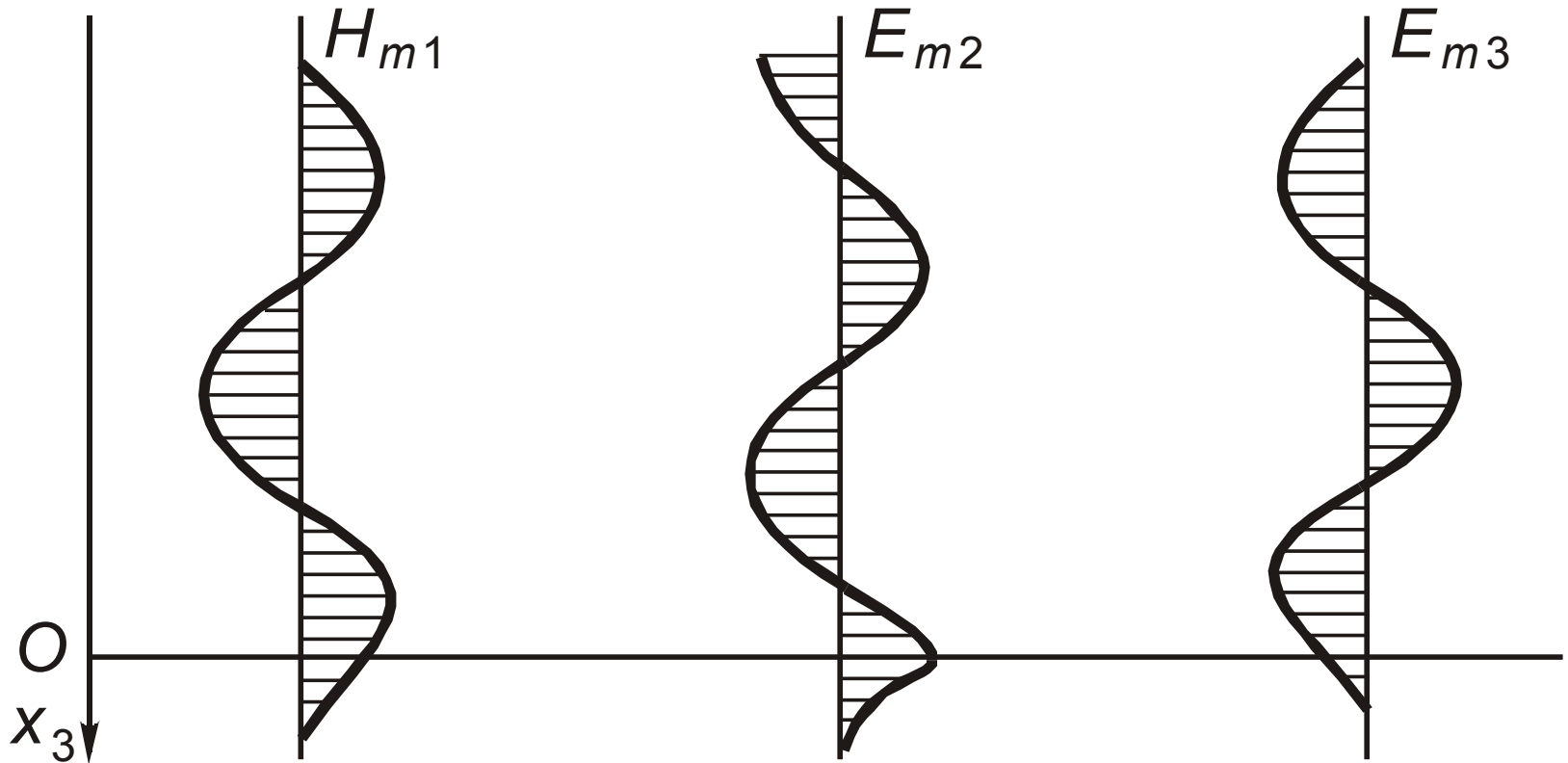
$$V_{\phi(2)} = \frac{\omega}{k_{(2)} \sin \dot{\mathcal{J}}_n} < \frac{1}{\sqrt{\varepsilon_{a2} \mu_{a2}}}$$

$$k_{(1)} \sin \theta = k_{(2)} \sin \dot{\mathcal{J}}_n, \quad V_{\phi(1)} = V_{\phi(2)}.$$

## Полное отражение

При вертикальной поляризации распределение поля имеет вид

$$E_{m1} \rightarrow H_{m1}, \quad H_{m2} \rightarrow E_{m2}, \quad H_{m3} \rightarrow E_{m3}$$





## *Полное отражение*

При полном отражении от границы двух диэлектрических сред, одна из которых является более плотной в электромагнитном смысле

$$( \epsilon_1 \mu_1 > \epsilon_2 \mu_2 )$$

поле существует только в первой среде и распространяется вдоль плоскости раздела, во вторую среду поле проникает слабо в виде поверхностной волны, амплитуда которой быстро затухает при удалении от границ раздела.

Этот эффект используется в диэлектрических волноводах.

## Полное отражение

Вторая среда идеально проводящая

$$\sigma \rightarrow \infty$$

$$Z_{02} = \sqrt{\frac{\mu_{a2}}{\tilde{\varepsilon}_{a2}}} = \sqrt{\frac{\mu_{a2}}{\varepsilon'_{a2} - i \frac{\sigma}{\omega}}} = 0,$$

$$\Gamma_E = -1, \quad \Gamma_H = 1.$$

От идеально проводящей поверхности волна полностью отражается при любом угле падения.

## Полное отражение

При горизонтальной поляризации поле в первой среде

$$\dot{\mathbf{E}}_{m(1)} = -i \mathbf{e}_1 2E_m \sin(k_{(1)} x_3 \cos \theta) e^{-i k_{(1)} x_2 \sin \theta},$$

$$\begin{aligned} \dot{\mathbf{H}}_{m1} = & [\mathbf{e}_2 2H_m \cos \theta \cos(k_{(1)} x_3 \cos \theta) + \\ & + i \mathbf{e}_3 2H_m \sin \theta \sin(k_{(1)} x_3 \cos \theta)] e^{-i k_{(1)} x_2 \sin \theta}. \end{aligned}$$

Поле во второй среде

$$E_{(2)} = H_{(2)} = 0.$$

## Полное отражение

Распределение поля при отражении от идеально проводящей поверхности при  
*а* — горизонтальной и *б* — вертикальной поляризации

